

I-14 水制工に関する研究(オニ報)

日本大学理工学部 正員 粟津 清蔵
高知工業高等学校 正員 宮田 隆弘
日本大学理工学部 正員 ○近藤 勉

§1. 理論的考察

单一不透過水制の周りの局部的洗掘の支配的因子は、水平固定床の水制近くの流況より次の式で示されることを示した。

$$F(N_{sg}, \frac{C}{C_c}, 1 - \frac{b}{B}, i_c, F_{sg}) = 0 \quad (1)$$

添字sgのあるものは、水制設置以前の設置断面に関する水理量である。

N_{sg} : 粒度を示す無次元量 $\frac{\rho g}{\eta^2}$, C : 掃流力, C_c : 移動床の限界掃流力, $1 - \frac{b}{B}$: 水制による水路幅の縮小率, i_c : 移動床のフクレ上りの限界動水コウ配, F_{sg} : フード数 $\frac{V_{sg}}{\sqrt{g R_{sg}}}$.

不等流下の掃流力は乱流で、圧力、流速分布が等流時と相似であると次のように示され

$$\bar{C} = f \frac{V^2}{2}, \quad f = \frac{2g}{C^2} \quad (2)$$

C_{sg} の係数に Manning の式を用いると $C = R_{sg}^{1/6}$ で示されるから C_{sg} は

$$\frac{C_{sg}}{R_{sg}} = \frac{W N_{sg}^2 D_{sg}^2 \cdot g R_{sg}}{W R_{sg} R_{sg}^2 \cdot g R_{sg}} = N_{sg} \cdot F_{sg}^2 \quad (3)$$

i_c は砂粒の平均径が 1~10mm では約 1.1 で殆んど変りないから、近似的に常数とみなされ、さらに (3) 式を加味すると (1) 式は次の式に近似される $F(N_{sg}/C_c, 1 - \frac{b}{B}) = 0$ (4)

洗掘量として図-1 の h_s , X_u , X_d を取り水深 h_{sg} との無次元洗掘量は次のように示され

$$\frac{h_s}{h_{sg}}, \frac{X_u}{h_{sg}}, \frac{X_d}{h_{sg}} = F\left(\frac{C_{sg}}{C_c}, 1 - \frac{b}{B}\right) \quad (5)$$

洗掘の発生しない最大の C_{sg} 、または洗掘の発生する最小の C_{sg} を C_{sg*} (水制設置に伴う限界掃流力) とする、従って $C_{sg} = C_{sg*}$ のときは洗掘量は零であるから (5) 式は (6) 式となる。

$$F(C_{sg*}/C_c, 1 - \frac{b}{B}) = 0 \quad (6)$$

すなわち水制の周りの洗掘発生限界時の現象は (6) 式によって示されることが推論された、なら $(1 - \frac{b}{B}) = 0$ のとき $C_{sg*}/C_c = 1.0$ で一般に $(1 - \frac{b}{B})$ が増加すると C_{sg*}/C_c は減少するが $C_{sg*}/C_c > 0$, $(1 - \frac{b}{B}) \rightarrow 1.0$ と $C_{sg*}/C_c \rightarrow 0$ するものと推論される。

$$(6) \text{ 式より } \frac{C_{sg}}{C_{sg*}} = f\left(1 - \frac{b}{B}\right) \quad (7)$$

次に (7) 式の性質を用いて、新しい無次元変数 $\frac{C_{sg}}{C_{sg*}}$ を考える

$$\frac{C_{sg}}{C_{sg*}} = \left(\frac{C_{sg}}{C_c}\right) \cdot \left(\frac{C_c}{C_{sg*}}\right) = F\left(\frac{C_{sg}}{C_c}, 1 - \frac{b}{B}\right) \quad (8)$$

(5) と (8) 式より近似的に次の関係が導びかれる

$$\frac{h_s}{h_{sg}}, \frac{X_u}{h_{sg}}, \frac{X_d}{h_{sg}} = F\left(\frac{C_{sg}}{C_{sg*}}\right) \quad (9)$$

以上の推論によって近似的ではあるが、水制工の洗掘現象は、定性的に (6), (9) 式によって表示されるものと考えられる。

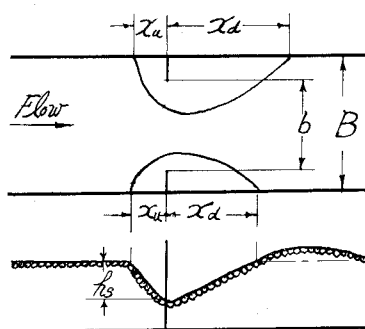


図-1.

§2 実験とその結果

両面ガラス張り、一部分ガラス張りのせれぞれ幅 20cm、高さ 45cm の長方形断面、長さ 7.35m、下流端に 10mm の微動装置のあ

3引揚扉のある水路を使用、水
則は一分板ガラス、移動床はA₃
 $1.11 \sim 2.38 \text{ mm}$, B₃ $2.38 \sim 4.76 \text{ mm}$
カニコを単純に、15cm厚に數々
よろしく実験を行なった。

1) T_{dry} について

流量 $2.5 \sim 10.8 \text{ liter/sec}$, $1 - \frac{b}{B}$ 0.00
(Cの実測用), 0.1, 0.2, 0.3 の組合せによる 22 個の実験を行なつた、各実験において引揚扉と
余りに關いて、水制の周りの移動床の一層程度の砂が移動する
けれども、すぐ安定する状態を
測定した、測定は定流下で行なう
必要があるので、扉の操作は
数動装置によつて勤かし一旦停
止する作業を繰返し洗掘限界を
求めた。

実験値を(6)式に従つてプロットして、図-2が得られた、相
当にバラズキが目立つが現象の
性質上ある程度許容されるもの
と思はれる、実験式化すると

$$\frac{T_{\text{dry}}}{T_c} = \frac{1 - (1 - \frac{b}{B})}{1 + 6.75(1 - \frac{b}{B})} \quad (10)$$

2) 洗掘量について

流量は $2.00 \sim 12.6 \text{ liter/sec}$, $(1 - \frac{b}{B})$ $0.10, 0.15, 0.20$
 $0.25, 0.30, 0.35$ ただしバーのあるものは検証の
意味を含めた実験である、これらの組合せによつて 40 個の実験を行なつた、洗掘量は移動床
が安定した状態下での量で、実験条件によつて安定するに要する時間 T は違うけれども、
この実験では T は $300 \sim 960 \text{ min}$ の範囲にある
・実験値を(9)式に従つてプロットすると(図-3~5) が得られる、相当のバラズキが目立つが、洗掘が非対称であること、 \log_{10} の差が Z_d
 Z_d に大きく影響することに注目すると許容さ

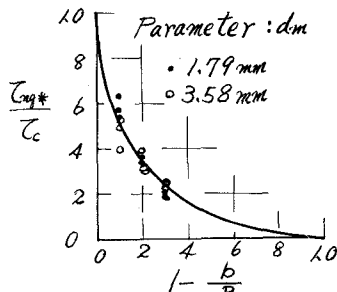


図-2

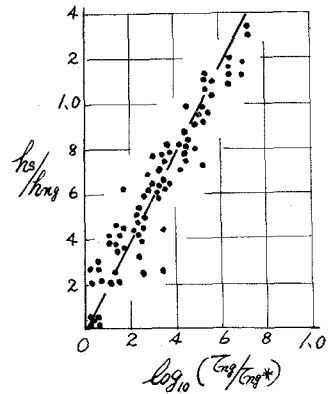


図-3

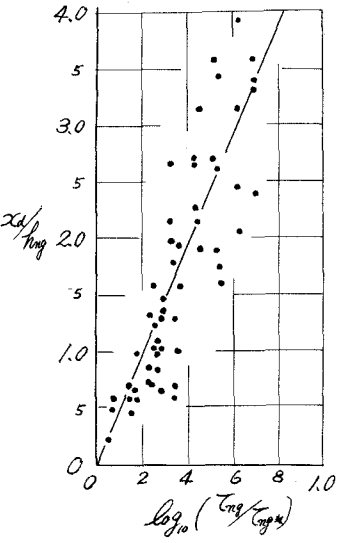


図-5

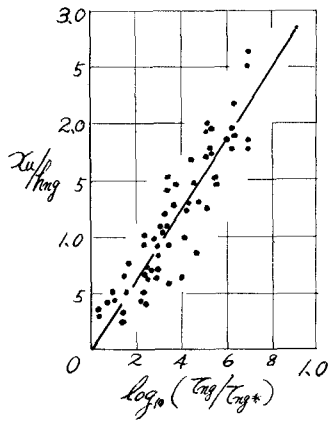


図-4

れるものと思はれる、実験式を導くと次の結果が得られた。

$$\frac{hs}{hmg} = 1.97 \log_{10}\left(\frac{T_{\text{dry}}}{T_c}\right) \quad (11)$$

$$\frac{Xdp}{hmg} = 3.12 \log_{10}\left(\frac{T_{\text{dry}}}{T_c}\right) \quad (12)$$

$$\frac{Xdp}{hmg} = 4.93 \log_{10}\left(\frac{T_{\text{dry}}}{T_c}\right) \quad (13)$$

以上の事項をもつて結論とする、なまこの研究は文部省科学試験研究費補助金を受けて研究の分担研究の一部である。

引用文献

- (1)栗津：水制工に関する研究(第一報)土木学会第17回年次講演会
- (2)栗津：揚力の再確認 土木学会第18回年次講演会
- (3)栗津：河床物理の二、三の性質とその応用 土木学会講究集36号